

橄榄苦苷调节RhoA/ROCK信号通路对肺炎链球菌感染导致的肺泡上皮细胞损伤的影响

严娅芬 陆光兵 田良东 张东香*

(眉山市中医医院, 呼吸与危重症医学科, 眉山 620010)

摘要 该文探讨了橄榄苦苷(OP)调节Ras同源基因家族成员A(RhoA)/Rho相关卷曲螺旋形成蛋白激酶(ROCK)信号通路对肺炎链球菌感染导致的肺泡上皮细胞损伤的影响。将肺泡上皮细胞A549随机分为Control组、Model组、L-OP组、M-OP组、H-OP组、U46619组(H-OP+RhoA/ROCK信号通路激活剂U46619), 除Control组正常培养外, 其余各组均以肺炎链球菌感染建立细胞损伤模型。MTT和平板克隆实验检测细胞增殖情况; 试剂盒检测细胞中超氧化物歧化酶(SOD)、活性氧(ROS)、丙二醛(MDA)水平; ELISA检测细胞中白细胞介素10(IL-10)、IL-1 β 、肿瘤坏死因子- α (TNF- α)水平; 流式细胞仪检测细胞凋亡情况; Western blot检测细胞中Bcl-2、Bax、cleaved caspase-3、RhoA、ROCK表达情况。结果显示, 与Control组相比, Model组细胞的D₄₉₀、克隆数、SOD、IL-10、Bcl-2表达水平降低, 细胞凋亡率、ROS、MDA、IL-1 β 、TNF- α 、Bax、cleaved caspase-3、RhoA、ROCK表达水平升高; 与Model组相比, L-OP组、M-OP组、H-OP组细胞的D₄₉₀、克隆数、SOD、IL-10、Bcl-2表达水平升高, 细胞凋亡率、ROS、MDA、IL-1 β 、TNF- α 、Bax、cleaved caspase-3、RhoA、ROCK表达水平降低; 与H-OP组相比, U46619组细胞的D₄₉₀、克隆数、SOD、IL-10、Bcl-2表达水平降低, 细胞凋亡率、ROS、MDA、IL-1 β 、TNF- α 、Bax、cleaved caspase-3、RhoA、ROCK表达水平升高。由此提示, OP可能是通过抑制RhoA/ROCK信号通路, 减轻肺炎链球菌感染导致的肺泡上皮细胞炎症与氧化应激反应, 进而促进细胞增殖, 抑制细胞凋亡, 缓解细胞损伤的。

关键词 橄榄苦苷; RhoA/ROCK信号通路; 肺炎链球菌感染; 肺泡上皮细胞损伤

Effect of Oleuropein on Alveolar Epithelial Cell Injury Induced by *Streptococcus pneumoniae* Infection by Regulating the RhoA/ROCK Signaling Pathway

YAN Yafen, LU Guangbing, TIAN Liangdong, ZHANG Dongxiang*

(Department of Respiratory and Critical Care Medicine, Meishan Traditional Chinese Medicine Hospital, Meishan 620010, China)

Abstract The aim of this study is to investigate the effect of OP (oleuropein) on alveolar epithelial cell injury induced by *Streptococcus pneumoniae* infection by regulating RhoA (Ras homologous gene family member A)/ROCK (Rho-associated coiled-coil kinase) signaling pathway. Alveolar epithelial cells A549 were randomly divided into Control group, Model group, L-OP group, M-OP group, H-OP group and U46619 group (H-OP+RhoA/ROCK signaling pathway activator U46619). Except for the normal culture of the Control group, the cell injury model was established with *Streptococcus pneumoniae* infection in the other groups. MTT and plate cloning were used to detect the

收稿日期: 2024-07-09 接受日期: 2024-08-23

*通信作者。Tel: 13795545225, E-mail: 405890102@qq.com

Received: July 9, 2024 Accepted: August 23, 2024

*Corresponding author. Tel: +86-13795545225, E-mail: 405890102@qq.com

proliferation of cells. The levels of SOD (superoxide dismutase), ROS (reactive oxygen species) and MDA (malondialdehyde) were detected by kits. The levels of IL-10 (interleukin-10), IL-1 β and TNF- α (tumor necrosis factor- α) were detected by ELISA. Flow cytometry was used to detect apoptosis. Western blot was used to detect the expression of Bcl-2, Bax, cleaved caspase-3, RhoA and ROCK. The result showed that compared with the Control group, the D_{490} , clone number, the expression levels of SOD, IL-10 and Bcl-2 in the Model group were decreased; the apoptosis rate, the expression levels of ROS, MDA, IL-1 β , TNF- α , Bax, cleaved caspase-3, RhoA and ROCK were increased. Compared with the Model group, the D_{490} , clone number, the expression levels of SOD, IL-10 and Bcl-2 in L-OP group, M-OP group and H-OP group were increased; the apoptosis rate, the expression levels of ROS, MDA, IL-1 β , TNF- α , Bax, cleaved caspase-3, RhoA and ROCK were decreased. Compared with the H-OP group, the D_{490} , clone number, the expression levels of SOD, IL-10 and Bcl-2 in the U46619 group were decreased; the apoptosis rate, the expression levels of ROS, MDA, IL-1 β , TNF- α , Bax, cleaved caspase-3, RhoA and ROCK were increased. As a reminder, OP may alleviate inflammation and oxidative stress in alveolar epithelial cells infected with *Streptococcus pneumoniae* by inhibiting the RhoA/ROCK signaling pathway, thereby promoting cell proliferation, inhibiting cell apoptosis, and alleviating cell injury.

Keywords oleuropein; RhoA/ROCK signaling pathway; *Streptococcus pneumoniae* infection; alveolar epithelial cells injury

细菌性肺炎严重威胁着人类生命的健康问题,每年夺去大量生命,特别是幼儿和老年人。而肺炎链球菌(*Streptococcus pneumoniae*),也就是通常所说的肺炎球菌,是引发细菌性肺炎最常见的病原体^[1]。简单来说,肺炎链球菌原本是与人类和平共处的鼻咽部微生物,但当我们的免疫系统受到抑制,无法有效防御时,这些细菌便会乘虚而入,从而感染肺泡上皮细胞,引发细胞受损甚至凋亡,最终形成细菌性肺炎^[2-3]。在机体与肺炎链球菌斗争时,免疫系统的过度反应往往是把双刃剑,促炎因子和抗炎因子的平衡状态一旦被打破,便会导致肺部持续炎症和氧化应激反应,加剧肺泡上皮细胞的损伤^[4]。因此,寻找能够有效遏制细胞炎症和氧化应激反应,恢复肺部健康状态的策略,成为医学界亟待解决的重要课题。研究显示,Ras同源基因家族成员 A(Ras homologous gene family member A, RhoA)/Rho相关卷曲螺旋形成蛋白激酶(Rho-associated coiled-coil kinase, ROCK)信号通路,作为调节细胞功能的关键分子机制,其通路的上调不仅会加剧肺内皮细胞的炎症、促进免疫细胞迁移与细胞凋亡,还会破坏肺屏障平衡,加剧肺损伤^[5]。而CHEN等^[6]在体内外实验中证明,抑制RhoA/ROCK信号通路,可以有效减少炎症因子的释放量,保护细胞免受损伤,从而缓解急性肺损伤。此外,橄榄苦苷(oleuropein, OP)是橄榄叶提取物中的主要酚类化合物,具有抗炎、抗

氧化等多种生物活性^[7]。DIKMEN等^[8]已证明,OP可通过其抗氧化、抗炎的特性来改善脂多糖诱导的大鼠的急性肺损伤。然而,在肺炎链球菌感染导致的A549细胞损伤中,OP能否通过调节RhoA/ROCK信号通路,减轻炎症、缓解氧化应激、促进细胞增殖并抑制凋亡,从而全面减轻细胞损伤,这不仅是科学探索的新前沿,更是为肺炎治疗开辟新途径的宝贵希望。

1 材料与方法

1.1 主要试剂与仪器

A549细胞系购自中国科学院上海细胞库; RPMI-1640培养基(货号: 11875093)购自 ThermoFisher Scientific公司; 胎牛血清(货号: SH30084)、胰蛋白酶(货号: SH30042)购自美国Hyclone公司; OP(CAS号: 32619-42-4)、RhoA/ROCK信号通路激活剂U46619(CSA: 56985-40-1)购自MCE公司; Annexin V-FITC/PI细胞凋亡检测试剂盒(货号: 40302ES60)购自上海翌圣生物技术股份有限公司; MTT试剂盒(货号: C0009S)、RIPA裂解液(货号: P0013B)、BCA蛋白定量试剂盒(货号: P0011)购自上海碧云天生物技术有限公司; SOD活性检测试剂盒(货号: ml092620)、MDA检测试剂盒(货号: ml094962)、白细胞介素-1 β (IL-1 β , 货号: ml058059)、肿瘤坏死因子- α (TNF- α , 货号: ml077385)、白细胞介素 10(IL-

10, 货号: ml064299) ELISA试剂盒购自上海酶联生物科技有限公司; WB(Western blot)检测试剂盒(货号: KGP1201)购自江苏凯基生物技术股份有限公司; ECL化学发光试剂盒(货号: WBKLS0100)购自Milipore公司; 抗体Bcl-2(货号: ab182858)、Bax(货号: ab32503)、cleaved caspase-3(货号: ab2302)、RhoA(货号: ab187027)、ROCK(货号: ab45171)、GAPDH(货号: ab8245)购自英国Abcam公司; 多功能酶标仪(型号: Spectra Max M5)购自Molecular Devices公司; 凝胶成像系统(型号: BioSpectrum 810 Imaging System)购自美国ThermoFisher Scientific公司; 流式细胞仪(型号: CytoFLEX LX)购自美国Beckman Coulter公司。

1.2 方法

1.2.1 OP浓度的筛选 A549细胞使用RPMI-1640培养基(10%胎牛血清、1%青霉素-链霉素), 放置在37 °C、5% CO₂的湿润培养箱中培养, 用1×10⁸ CFU/mL肺炎链球菌感染细胞^[9], 再用不同浓度(0、25、50、100、200、400 μmol/L)OP处理A549细胞24 h, 按照说明书步骤进行MTT检测, 计算细胞存活率。

1.2.2 细胞分组 将A549细胞分为Control组、Model组、L-OP、M-OP、H-OP组(50、100、200 μmol/L OP)、U46619组(200 μg/mL OP+100 nmol/L RhoA/ROCK信号通路激活剂U46619^[6])。除对照组正常培养外, 其余各组均以1×10⁸ CFU/mL肺炎链球菌感染建立细胞损伤模型。

1.2.3 各组细胞的增殖检测 MTT法: 取对数生长期的A549细胞接种于96孔板中, 在37 °C、5%的CO₂浓度下培养24 h, 加入MTT溶液(5 mg/mL, 10 μL/孔), 继续培养箱培养4 h, 终止培养, 加入DMSO(150 μL/孔), 避光, 低速振荡10 min, 使结晶物充分溶解。最后, 使用多功能酶标仪在490 nm波长处测量每孔的吸光度(D_{490})值。

平板克隆法: 取对数生长期的A549细胞接种于6孔板中, 在37 °C、5% CO₂培养箱中培养, 经常观察, 形成肉眼可见菌落后, 弃去孔内培养液, 用PBS浸洗2次, 在室温下固定液固定10 min, PBS浸洗1次, 最后用结晶紫染色, 观察菌落的形成, 拍照记录, 并使用ImageJ软件分析统计细胞的克隆数。

1.2.4 各组细胞的凋亡检测 取对数生长期的A549细胞接种于6孔板中, 培养24 h。PBS洗涤3次, 用Annexin V-FITC/PI溶液染色, 细胞筛过滤, 然后立即将其

置于流式细胞仪中, 观测、分析A549细胞的凋亡情况。

1.2.5 各组细胞中 SOD、ROS、MDA水平检测 收集各组细胞, 加入RIPA裂解液冰水浴中提取总蛋白, 4 °C、12 000 ×g离心10 min, BCA测量上清中总蛋白浓度, 各组取0.2 mL, 按照试剂盒说明书测定SOD、ROS、MDA水平, 剩余蛋白样品用于WB检测。

1.2.6 各组细胞中炎性因子水平检测 收集各组细胞培养液, 4 °C、3 000 ×g离心10 min, 取上清于-20 °C保存备用, 按照ELISA试剂盒说明书测定IL-10、IL-1β、TNF-α浓度。

1.2.7 各组细胞中凋亡及RhoA/ROCK信号通路相关蛋白的表达测定 加入RIPA裂解液, 冰上裂解A549细胞, 制备蛋白提取液, 进行SDS-PAGE凝胶电泳, 随后, 使用湿转法把蛋白质转至PVDF膜上, 接着, 用5%脱脂奶粉室温封闭1 h, 并用1×TBST洗涤2次, 然后, 在4 °C摇床上, Bcl-2(1:2 000)、Bax(1:5 000)、cleaved caspase-3(1:200)、RhoA(1:5 000)、ROCK(1:5 000)、GAPDH(1:5 000)一抗孵育过夜。次日, 室温, 1×TBST洗涤3次, 二抗(1:5 000)孵育1 h。最后, 加入ECL化学发光液, 凝胶成像系统观察、拍照, 并用ImageJ软件进行蛋白表达的分析、统计。

1.3 统计与分析

采用SPSS 26.0软件进行数据统计分析, 结果以均数±标准差($\bar{x} \pm s$)表示。多组比较采用单因素方差分析, 进一步两两比较采用SNK-q检验。 $P < 0.05$ 表示差异有统计学意义。

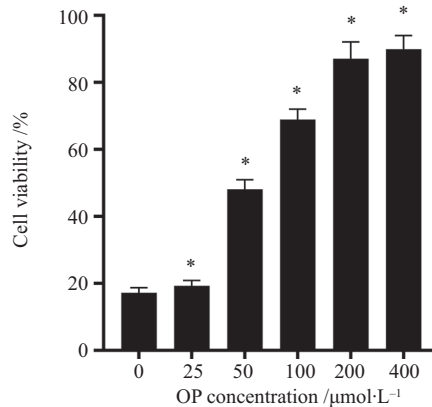
2 结果

2.1 OP浓度筛选

与0 μmol/L OP处理的肺炎链球菌感染细胞相比, 25、50、100、200、400 μmol/L OP处理的细胞存活率不断升高($P < 0.05$)。但与0 μmol/L OP处理的细胞相比, 25 μmol/L OP处理的细胞存活率变化较小, 与200 μmol/L OP处理的细胞相比, 400 μmol/L OP处理的细胞存活率变化较小。因此选取50、100、200 μg/mL为后续实验L-OP、M-OP、H-OP组的使用浓度(图1)。

2.2 OP对A549细胞增殖的影响

与Control组相比, Model组A549细胞的 D_{490} 、克隆数降低($P < 0.05$); 与Model组相比, L-OP组、M-OP组、H-OP组A549细胞的 D_{490} 、克隆数升高($P < 0.05$); 与H-OP组相比, U46619组A549细胞的 D_{490} 、克隆数降低($P < 0.05$)(图2)。

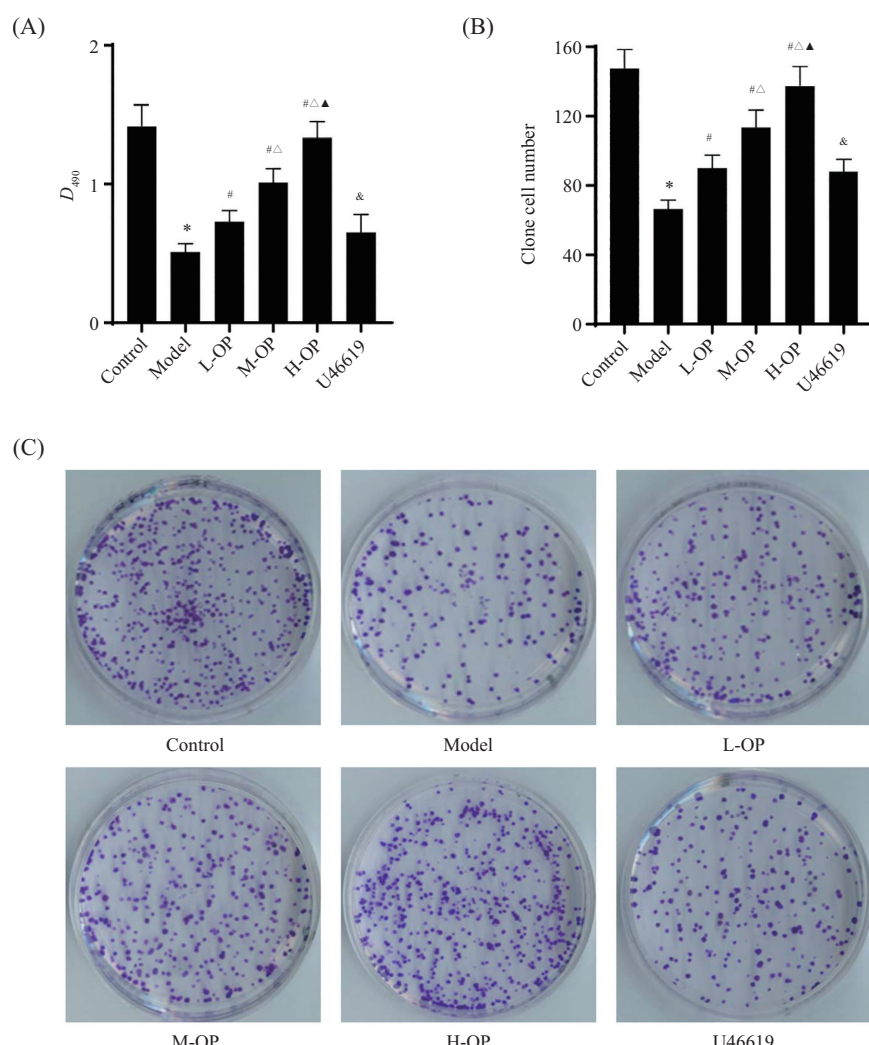


* $P<0.05$, 与0 $\mu\text{mol}/\text{L}$ OP组比较。

* $P<0.05$ compared with the 0 $\mu\text{mol}/\text{L}$ OP group.

图1 不同浓度OP对A549细胞存活率的影响

Fig.1 The effect of different concentrations of OP on the survival rate of A549 cells



A: MTT检测细胞增殖; B、C: 平板克隆检测细胞增殖。* $P<0.05$, 与Control组比较; # $P<0.05$, 与Model组比较; △ $P<0.05$, 与L-OP组比较; ▲ $P<0.05$, 与M-OP组比较; & $P<0.05$, 与H-OP组比较。

A: MTT assay was used to detect cell proliferation; B,C: plate clones were used to detect cell proliferation. * $P<0.05$ compared with the Control group; # $P<0.05$ compared with the Model group; △ $P<0.05$ compared with L-OP group; ▲ $P<0.05$ compared with M-OP group; & $P<0.05$ compared with H-OP group.

图2 OP对A549细胞增殖的影响

Fig.2 Effect of OP on proliferation of A549 cells

2.3 OP对A549细胞凋亡的影响

与Control组相比, Model组A549细胞凋亡率升高($P<0.05$); 与Model组相比, L-OP组、M-OP组、H-OP组A549细胞凋亡率降低($P<0.05$); 与H-OP组相比, U46619组A549细胞凋亡率升高($P<0.05$)(图3)。

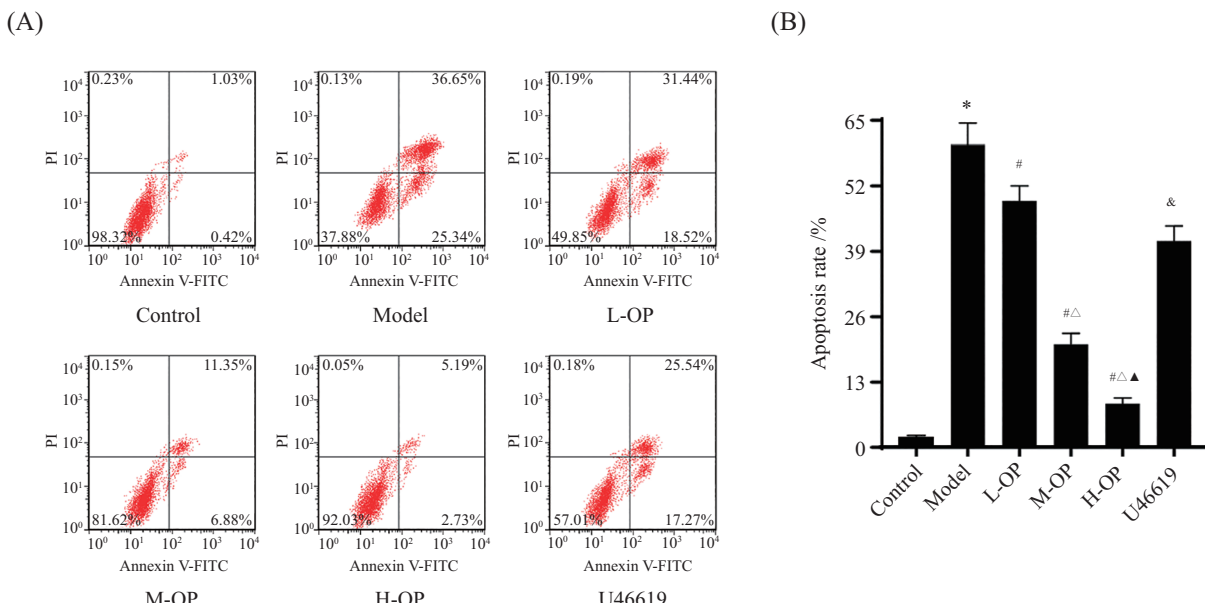
2.4 OP对A549细胞中SOD、ROS、MDA水平的影响

与Control组相比, Model组A549细胞的SOD蛋白表达水平降低, 而ROS、MDA表达水平升高

($P<0.05$); 与Model组相比, L-OP组、M-OP组、H-OP组A549细胞的SOD表达水平升高, 而ROS、MDA表达水平降低($P<0.05$); 与H-OP组相比, U46619组A549细胞的SOD表达水平降低, 而ROS、MDA表达水平升高($P<0.05$)(图4)。

2.5 OP对A549细胞中IL-10、IL-1 β 、TNF- α 表达的影响

与Control组相比, Model组A549细胞的IL-10表达水平降低, 而IL-1 β 、TNF- α 升高($P<0.05$); 与Model组

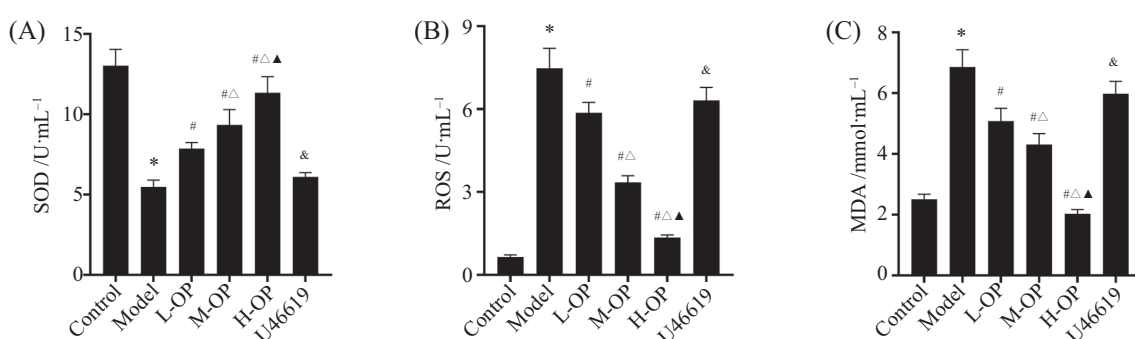


A、B: 流式细胞仪检测细胞凋亡情况。* $P<0.05$, 与Control组比较; # $P<0.05$, 与Model组比较; △ $P<0.05$, 与L-OP组比较; ▲ $P<0.05$, 与M-OP组比较; & $P<0.05$, 与H-OP组比较。

A,B: flow cytometry was used to detect apoptosis. * $P<0.05$ compared with the Control group; # $P<0.05$ compared with the Model group; △ $P<0.05$ compared with L-OP group; ▲ $P<0.05$ compared with M-OP group; & $P<0.05$ compared with H-OP group.

图3 OP对A549细胞凋亡率的影响

Fig.3 Effect of OP on apoptosis rate of A549 cells

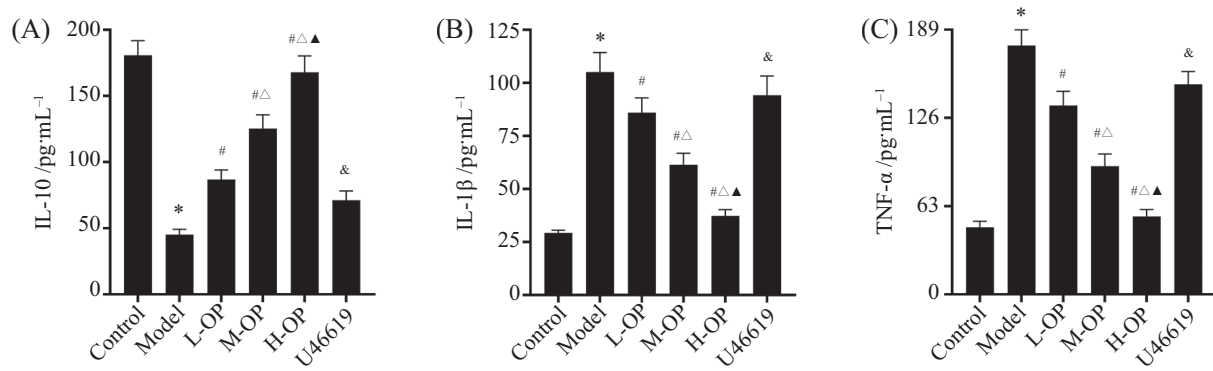


A: 试剂盒检测SOD水平; B: 试剂盒检测ROS水平; C: 试剂盒检测MDA水平。* $P<0.05$, 与Control组比较; # $P<0.05$, 与Model组比较; △ $P<0.05$, 与L-OP组比较; ▲ $P<0.05$, 与M-OP组比较; & $P<0.05$, 与H-OP组比较。

A: the kit was used to detect SOD levels; B: the kit was used to detect ROS levels; C: the kit was used to detect MDA levels. * $P<0.05$ compared with the Control group; # $P<0.05$ compared with the Model group; △ $P<0.05$ compared with L-OP group; ▲ $P<0.05$ compared with M-OP group; & $P<0.05$ compared with H-OP group.

图4 OP对A549细胞中SOD、ROS、MDA表达的影响

Fig.4 Effect of OP on the expression of SOD, ROS and MDA in A549 cells



A: ELISA检测IL-10水平; B: ELISA检测IL-1β水平; C: ELISA检测TNF-α水平。*P<0.05, 与Control组比较; #P<0.05, 与Model组比较; △P<0.05, 与L-OP组比较; ▲P<0.05, 与M-OP组比较; &P<0.05, 与H-OP组比较。

A: ELISA was used to detect IL-10 levels; B: ELISA was used to detect IL-1β levels; C: ELISA was used to detect TNF-α levels. *P<0.05 compared with the Control group; #P<0.05 compared with the Model group; △P<0.05 compared with L-OP group; ▲P<0.05 compared with M-OP group; &P<0.05 compared with H-OP group.

图5 OP对A549细胞中IL-10、IL-1β、TNF-α表达的影响

Fig.5 Effect of OP on the expression of IL-10, IL-1β and TNF-α in A549 cells

相比, L-OP组、M-OP组、H-OP组A549细胞的IL-10表达水平升高, 而IL-1β、TNF-α表达水平降低($P<0.05$); 与H-OP组相比, U46619组A549细胞的IL-10表达水平降低, 而IL-1β、TNF-α表达水平升高($P<0.05$)(图5)。

2.6 OP对A549细胞中凋亡及RhoA/ROCK信号通路相关蛋白表达的影响

与Control组相比, Model组Bcl-2蛋白表达水平降低, Bax、cleaved caspase-3、RhoA、ROCK蛋白表达水平升高($P<0.05$); 与Model组相比, L-OP组、M-OP组、H-OP组Bcl-2蛋白表达水平升高, Bax、cleaved caspase-3、RhoA、ROCK蛋白表达水平降低($P<0.05$); 与H-OP组相比, U46619组Bcl-2蛋白表达水平降低, Bax、cleaved caspase-3、RhoA、ROCK蛋白表达水平升高($P<0.05$)(图6)。

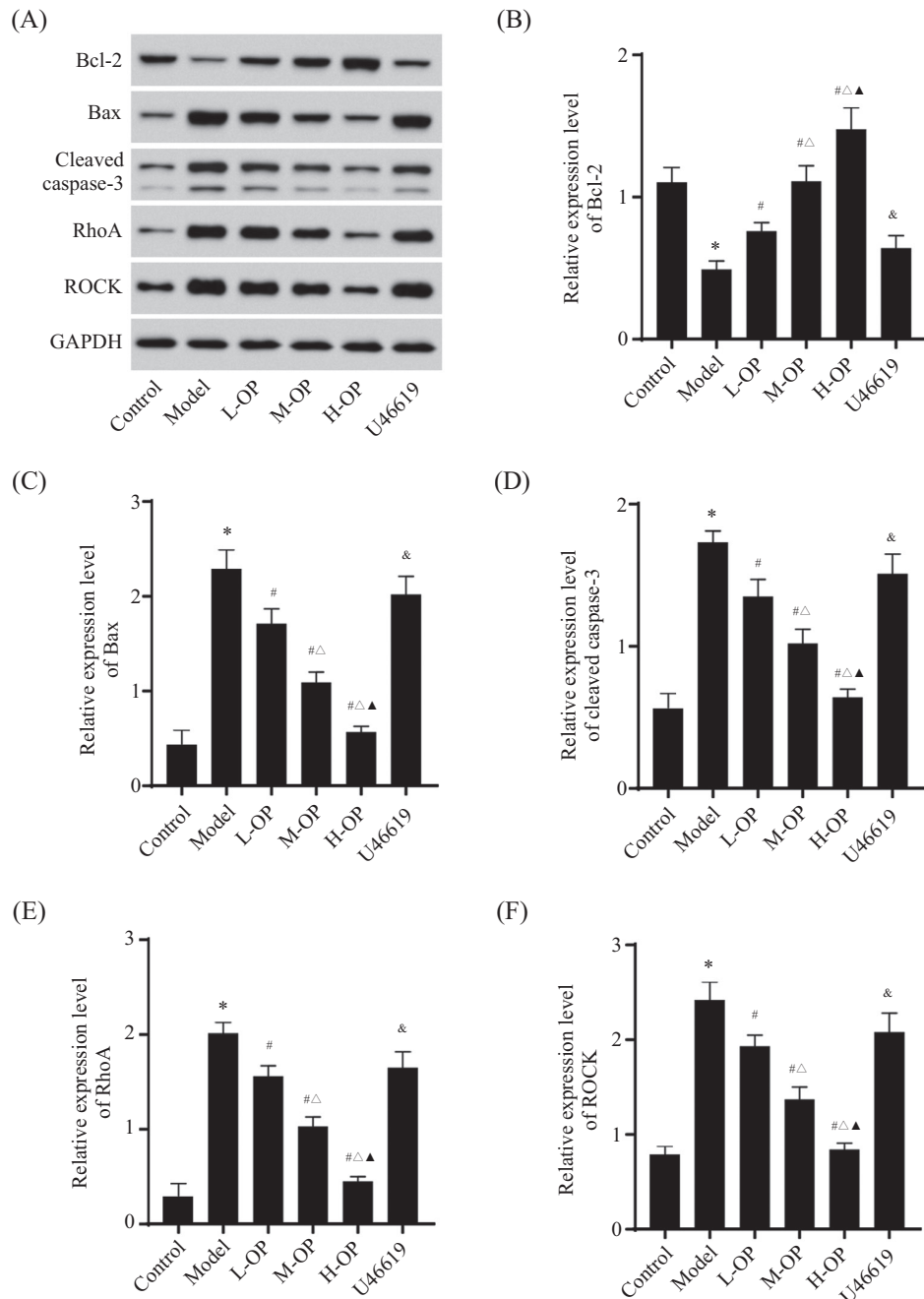
3 讨论

肺炎链球菌感染肺部后, 它会激活人体免疫系统, 导致炎症相关基因活跃度显著提升, 促使体内释放出大量的炎症因子, 如IL-1β和TNF-α等^[10]。这些炎症因子不仅加剧肺部的炎症反应, 还可能破坏肺泡上皮细胞, 导致肺组织的结构和功能受到严重影响^[11]。与此同时, 肺炎链球菌感染还会在肺部环境中引发氧化应激反应, 产生大量的ROS, 进一步加剧肺部损伤^[12]。在治疗肺炎链球菌引起的肺炎时, 抗生素一直是首选武器^[13]。然而, 随着抗生素的广泛应用, 肺炎链球菌的耐药性也日益增强, 这使得部分

患者的治疗效果不佳。因此, 研发新的非抗生素类药物治疗肺炎链球菌肺炎, 已迫在眉睫。

随着医疗发展, 由于OP是天然多酚类化合物, 且具有优异的生物活性等作用, 被医疗领域和科研机构密切关注^[14]。在体外细胞实验中, ANTOGNELI等^[15]研究表明, OP通过调控超氧阴离子与Akt信号通路的相互作用, 诱导线粒体中的GLO2蛋白表达上调, 进而触发A549细胞的凋亡程序。正如本实验结果显示, 低、中、高浓度的OP依次上调抗凋亡Bcl-2蛋白表达, 抑制促凋亡Bax、cleaved caspase-3蛋白表达, 降低细胞凋亡率, 从而促进细胞增殖。此外, HUGUET等^[16]创新探索报道, 负载OP的纳米结构脂质载体, 能够持续稳定地释放OP, 在A549细胞内长效发挥抗氧化效能, 显著减轻细胞损伤。曹位平等^[17]在体内动物实验中进一步证明, OP通过降低氧化应激水平和抑制炎症反应, 对缺血再灌注大鼠的心肌组织起到保护作用, 从而改善心脏功能。在本研究中, OP呈浓度依赖性降低肺炎链球菌感染诱导的氧化应激因子ROS及MDA、促炎因子IL-1β及TNF-α表达水平, 而上调抗氧化酶SOD、抗炎因子IL-10表达, 进而发挥抗炎、抗氧化生物学特性。因此, OP可以减轻肺炎链球菌感染引起的氧化应激和炎性反应, 抑制细胞凋亡, 最终促进细胞增殖, 延缓肺炎疾病进程, 但OP的作用机制复杂多样, 仍需进一步研究。

在复杂的分子机制中, RhoA/ROCK信号通路



A: Western blot检测细胞中Bcl-2、Bax、cleaved caspase-3、RhoA、ROCK蛋白表达水平; B: Bcl-2蛋白相对表达水平; C: Bax蛋白相对表达水平; D: cleaved caspase-3蛋白相对表达水平; E: RhoA蛋白相对表达水平; F: ROCK蛋白相对表达水平。* $P<0.05$, 与Control组比较; # $P<0.05$, 与Model组比较; $\triangle P<0.05$, 与L-OP组比较; $\blacktriangle P<0.05$, 与M-OP组比较; $\&P<0.05$, 与H-OP组比较。

A: Western blot was used to detect the protein expressions of Bcl-2, Bax, cleaved caspase-3, RhoA, and ROCK. B: relative expression level of Bcl-2 protein; C: relative expression level of Bax protein; D: relative expression level of cleaved caspase-3 protein; E: relative expression level of RhoA protein; F: relative ROCK protein expression levels. * $P<0.05$ compared with the Control group; # $P<0.05$ compared with the Model group; $\triangle P<0.05$ compared with L-OP group; $\blacktriangle P<0.05$ compared with M-OP group; $\&P<0.05$ compared with H-OP group.

图6 OP对A549细胞中Bcl-2、Bax、cleaved caspase-3、RhoA、ROCK蛋白表达的影响

Fig.6 Effect of OP on the expression of Bcl-2, Bax, cleaved caspase-3, RhoA and ROCK proteins in A549 cells

犹如一座不可或缺的桥梁,连接着细胞内部的各个关键过程。RhoA作为小分子G蛋白家族的重要成员,在细胞骨架的重塑、细胞运动、吞噬、转运和

转录调控,以及细胞生长等关键环节中发挥着决定性作用^[18]。一旦RhoA被激活,它便如同一个精确的指挥家,引导下游的ROCK分子进行磷酸化,进而对

细胞的形态、运动和连接等产生影响^[19]。总的来说, RhoA/ROCK信号通路在细胞生长、分化、迁移和发育等过程中都发挥着不可替代的作用^[20]。因此,对于这一信号通路的深入研究,不仅有助于我们更好地理解细胞生物学的奥秘,也可为未来的疾病治疗提供新的思路和方法。研究发现,抑制RhoA/ROCK信号通路的活性,能够有效抑制氧化应激^[21],显著抑制细胞因子释放和炎症细胞浸润^[23],最终对疾病发挥保护作用。进一步地,HE等^[22]报道,阻断RhoA/ROCK信号通路不仅能改善炎症反应和氧化应激状态,还能显著减少细胞凋亡,从而有效缓解小鼠肺炎症状。本实验中,使用OP显著降低了肺炎链球菌诱导的RhoA/ROCK信号通路相关蛋白的表达水平,并减轻了细胞氧化应激与炎症反应,抑制了细胞凋亡;然而,RhoA/ROCK信号通路激活剂U46619逆转了上述变化。这揭示,OP可能通过调控RhoA/ROCK信号通路抑制细胞氧化应激并减轻炎症反应,抑制细胞凋亡,从而减轻细胞损伤。

综上所述,OP可能是通过抑制RhoA/ROCK信号通路,减轻肺炎链球菌感染的肺泡上皮细胞的炎症与氧化应激反应,进而促进细胞增殖,抑制细胞凋亡,最终减轻细胞损伤的。但本研究仅限于细胞层面的初步验证,关于其在体内如何运作以及其具体的生物作用机制,还需要我们进行更为详尽和深入的探究。

参考文献 (References)

- [1] ESHWARA V K, MUKHOPADHYAY C, RELLO J. Community-acquired bacterial pneumonia in adults: an update [J]. Indian J Med Res, 2020, 151(4): 287-302.
- [2] WEIGHT C M, VENTURINI C, POJAR S, et al. Microinvasion by *Streptococcus pneumoniae* induces epithelial innate immunity during colonisation at the human mucosal surface [J]. Nat Commun, 2019, 10(1): 3060.
- [3] OLOTU C, LEHMENSIEK F, KOCH B, et al. *Streptococcus pneumoniae* inhibits purinergic signaling and promotes purinergic receptor P2Y2 internalization in alveolar epithelial cells [J]. J Biol Chem, 2019, 294(34): 12795-806.
- [4] 范彩霞, 张宗林, 伏瑶, 等. 金合欢素通过调节Sirt1介导的AMPK/Nrf2信号通路改善肺炎链球菌感染引起的肺泡上皮细胞损伤[J]. 中国免疫学杂志(FAN C X, ZHANG Z L, FU Y. Acacetin ameliorates alveolar epithelial cell damage caused by *Streptococcus pneumoniae* infection by regulating Sirt1-mediated AMPK/Nrf2 signaling pathway [J]. Cellular & Molecular Immunology), 2024, 40(3): 513-8.
- [5] ABEDI F, HAYES A W, REITER R, et al. Acute lung injury: the therapeutic role of Rho kinase inhibitors [J]. Pharmacol Res, 2020, 155: 104736.
- [6] CHEN B, GONG S, LI M, et al. Protective effect of oxyberberine against acute lung injury in mice via inhibiting RhoA/ROCK signaling pathway [J]. Biomed Pharmacother, 2022, 153: 113307.
- [7] NEDIANI C, RUZZOLINI J, ROMANI A, et al. Oleuropein, a bioactive compound from *Olea europaea* L., as a potential preventive and therapeutic agent in non-communicable diseases [J]. Antioxidants, 2019, 8(12): 578.
- [8] DIKMEN N, CELLAT M, ETYEMEZ M, et al. Ameliorative effects of oleuropein on lipopolysaccharide-induced acute lung injury model in rats [J]. Inflammation, 2021, 44(6): 2246-59.
- [9] 余莉萍, 余淑菁, 李旭成, 等. 玄参提取物调控circ_0038467/miR-495对肺炎链球菌诱导的肺泡上皮细胞损伤的影响[J]. 中国免疫学杂志(YU L P, YU S J, LI X C, et al. Effect of extract from scrophulariae on damage of alveolar epithelial cells induced by *Streptococcus pneumoniae* regulating by circ_0038467/miR-495 [J]. Cellular & Molecular Immunology), 2023, 39(2): 257-60.
- [10] SUBRAMANIAN K, NEILL D R, MALAK H A, et al. Pneumolysin binds to the mannose receptor C type 1 (MRC-1) leading to anti-inflammatory responses and enhanced pneumococcal survival [J]. Nat Microbiol, 2019, 4(1): 62-70.
- [11] SUBRAMANIAN K, HENRIQUES B, NORMARK S. Emerging concepts in the pathogenesis of the *Streptococcus pneumoniae*: from nasopharyngeal colonizer to intracellular pathogen [J]. Cell Microbiol, 2019, 21(11): e13077.
- [12] HERNANDEZ M, OLIVERO N B, ZAPPIA V E, et al. The oxidative stress response of *Streptococcus pneumoniae*: its contribution to both extracellular and intracellular survival [J]. Front Microbiol, 2023, 14: 1269843.
- [13] NARI G B, NIEDERMAN M S. Updates on community acquired pneumonia management in the ICU [J]. Pharmacol Ther, 2021, 217: 107663.
- [14] 汪浅, 葛怡青, 全涛. 橄榄苦苷的生物活性研究进展[J]. 食品工业科技(WANG Q, GE Y Q, TONG T, et al. Research progress on bioactivities of oleuropein [J]. Sci Technol Food Ind), 2022, 43(19): 479-86.
- [15] ANTOGNELLI C, FROSINI R, SANTOLLA M F, et al. Oleuropein-induced apoptosis is mediated by mitochondrial glyoxalase 2 in nsclc a549 cells: a mechanistic inside and a possible novel nonenzymatic role for an ancient enzyme [J]. Oxid Med Cell Longev, 2019, 2019: 8576961.
- [16] HUGUET-CASQUERO A, MORENO-SASTRE M, LOPEZ-MENDEZ T B, et al. Encapsulation of oleuropein in nanostructured lipid carriers: biocompatibility and antioxidant efficacy in lung epithelial cells [J]. Pharmaceutics, 2020, 12(5): 429.
- [17] 曹位平, 郭建淑, 冯文静, 等. 橄榄苦苷对缺血再灌注大鼠心肌应激性炎症损伤的保护作用[J]. 中国免疫学杂志(CAO W P, GUO J S, FENG W J, et al. Protective effect of oleuropein on stress-induced inflammatory injury in myocardial ischemia-reperfusion rats [J]. Cellular & Molecular Immunology), 2022, 38(16): 1940-5.
- [18] IYER M, SUBRAMANIAM M D, VENKATESAN D, et al. Role of RhoA-ROCK signaling in Parkinson's disease [J]. Eur J Pharmacol, 2021, 894: 173815.
- [19] WEI L, SHI J. Insight into Rho kinase isoforms in obesity and energy homeostasis [J]. Front Endocrinol, 2022, 13: 886534.
- [20] SAIDOOV A A, VOROBJEV I A. Lineage commitment, signal-

- ing pathways, and the cytoskeleton systems in mesenchymal stem cells [J]. *Tissue Eng Part B Rev*, 2020, 26(1): 13-25.
- [21] DOKUMACIOGLU E, DUZCAN I, ISKENDER H, et al. RhoA/ROCK-1 signaling pathway and oxidative stress in coronary artery disease patients [J]. *Braz J Cardiovasc Surg*, 2022, 37(2): 212-8.
- [22] HE P, GUO Y, WANG J, et al. Protection of ripasudil, a Rho ki-
- nase inhibitor, in lipopolysaccharides-induced acute pneumonia in mice [J]. *Am J Transl Res*, 2019, 11(10): 6433-43.
- [23] FENG G, SUN B, LIU H X, et al. EphA2 antagonism alleviates LPS-induced acute lung injury via Nrf2/HO-1, TLR4/MyD88 and RhoA/ROCK pathways [J]. *Int Immunopharmacol*, 2019, 72: 176-85.